

1.2 \mathfrak{sl}_n 的表示

回忆 \mathfrak{sl}_n 中, Cartan 子代数

$$\mathfrak{h} = \{\text{diag}(x_1, \dots, x_n) : x_1 + \dots + x_n = 0\}$$

将 $x_1, \dots, x_n \in \mathfrak{h}^*$ 视作坐标. 单根取作 $\{\alpha_i = x_i - x_{i+1} : i = 1, \dots, n-1\}$. 那么 \mathfrak{sl}_2 -triple 对应

$$\begin{aligned} h_i &= \text{diag}(\dots, 0, \begin{pmatrix} 1 & i+1 \\ 0 & -1 \end{pmatrix}, 0, \dots) \\ e_i &= \text{diag}(\dots, 0, \begin{pmatrix} 1 & i+1 \\ 0 & 0 \end{pmatrix}, 0, \dots) = E_{i, i+1} \\ f_i &= \text{diag}(\dots, 0, \begin{pmatrix} i & i+1 \\ 1 & 0 \end{pmatrix}, 0, \dots) = E_{i+1, i} \end{aligned}$$

回忆其自然表示 $V = \mathbb{C}^n$. 记 $\mathbf{v}_1, \dots, \mathbf{v}_n$ 为自然基. 那么

$$\mathbb{C}\mathbf{v}_i = V_{x_i} = \{v \in V : \text{diag}(x_1, \dots, x_n)v = x_i v\}.$$

其作用由下表给出

	\dots	\mathbf{v}_{i-1}	\mathbf{v}_i	\mathbf{v}_{i+1}	\mathbf{v}_{i+2}	\dots
e_i	\dots	0	0	\mathbf{v}_i	0	\dots
f_i	\dots	0	\mathbf{v}_{i+1}	0	0	\dots

考虑 $V^{\otimes N}$, 此时

$$\mathfrak{gl}_n \text{ 左作用 } V^{\otimes N} \text{ 左作用 } \mathfrak{S}_N$$

对于 N 的一个分拆 $\lambda = \lambda_1 \geq \lambda_2 \geq \dots$, 并填入 1 到 N .

取 Young symmetriser $b_\lambda = c_\lambda r_\lambda$, 其中 c_λ 是列交错和, r_λ 是行和. 记

$$V_\lambda = V^{\otimes N} b_\lambda$$

把 $x_1 \otimes \dots \otimes x_N$ 按照填入的数按顺序记入 Young 表, 并且将 \mathbf{v}_i 在 Young 图中改写为 i .

- 当列中有重复元素时, $M \cdot b_\lambda = 0$.

[因为列是交错和]

- (非零时) 其权为 $\phi_1 x_1 + \dots + \phi_n x_n$, 其中 ϕ_i 是 Young 表中 i 的使用次数.

回忆 x 在张量积上的作用是逐项作用再相加.

记 M_0 是第 i 行全部填 i 的 Young 表对应的单项式. 注意到:

- 第 i 行全部填 i 时, 记为 M_0 , 那么 $M_0 \cdot b_\lambda \neq 0$.

考虑 M 在 $M \cdot b_\lambda$ 前的系数.

- 任何一个 M , 都可以作用数次 $\{E_{ij}\}$ 进入 $\mathbb{C}M_0$. 且如果列元素不同, 那么可以作用数次 $\{E_{ij}\}$ 进入 $\mathbb{C}^\times M_0$.

看下面的例子.

$$\begin{aligned} & \begin{array}{|c|c|c|c|} \hline 1 & 2 & 3 & 2 \\ \hline 2 & 3 & 4 & \\ \hline 4 & & & \\ \hline \end{array} \\ e_1 \xrightarrow{E_{12}} & \begin{array}{|c|c|c|c|} \hline 1 & (1) & 3 & 2 \\ \hline 2 & 3 & 4 & \\ \hline 4 & & & \\ \hline \end{array} + \begin{array}{|c|c|c|c|} \hline 1 & 2 & 3 & (1) \\ \hline 2 & 3 & 4 & \\ \hline 4 & & & \\ \hline \end{array} + \begin{array}{|c|c|c|c|} \hline 1 & 2 & 3 & 2 \\ \hline (1) & 3 & 4 & \\ \hline 4 & & & \\ \hline \end{array} (=0) \\ e_1 \xrightarrow{E_{12}} & \begin{array}{|c|c|c|c|} \hline 1 & 1 & 3 & (1) \\ \hline 2 & 3 & 4 & \\ \hline 4 & & & \\ \hline \end{array} + 0 + \begin{array}{|c|c|c|c|} \hline 1 & (1) & 3 & 1 \\ \hline 2 & 3 & 4 & \\ \hline 4 & & & \\ \hline \end{array} + 0 = 2 \begin{array}{|c|c|c|c|} \hline 1 & 1 & 3 & 1 \\ \hline 2 & 2 & 3 & 4 \\ \hline 4 & & & \\ \hline \end{array} \\ E_{13} \xrightarrow{[e_1, e_3]} & 2 \begin{array}{|c|c|c|c|} \hline 1 & 1 & (1) & 1 \\ \hline 2 & 2 & 3 & 4 \\ \hline 4 & & & \\ \hline \end{array} + 2 \begin{array}{|c|c|c|c|} \hline 1 & 1 & 3 & 1 \\ \hline 2 & (1) & 4 & \\ \hline 4 & & & \\ \hline \end{array} (=0) \\ \xrightarrow{e_2} & 2 \begin{array}{|c|c|c|c|} \hline 1 & 1 & 1 & 1 \\ \hline 2 & (2) & 4 & \\ \hline 4 & & & \\ \hline \end{array} \xrightarrow{E_{42}=[e_4, [e_3, e_2]]} 2 \begin{array}{|c|c|c|c|} \hline 1 & 1 & 1 & 1 \\ \hline 2 & 2 & 2 & (2) \\ \hline 4 & & & \\ \hline \end{array} + 0 \\ e_3 \xrightarrow{E_{43}} & 2 \begin{array}{|c|c|c|c|} \hline 1 & 1 & 1 & 1 \\ \hline 2 & 2 & 2 & 2 \\ \hline (3) & & & \\ \hline \end{array} \end{aligned}$$

之后的步骤如下

- 从上面两点说明 V_λ 中含有一个 \mathfrak{sl}_n 的一个最高权为 $\lambda_1 x_1 + \dots + \lambda_n x_n$ 的不可约表示.
- 证明列严格递增且行单调递增 (半标准 Young 表) 的 Young 表构成一组基.
- 此时再利用 Weyl 特征公式 (即 Schur 函数) 说明这个表示必定是整个 V_λ .

上述过程还可以用 Schur-Weyl 对偶来说明.

令 M 是一个 Young 表对应的单项式. 注意到:

$$\begin{aligned} r_\lambda &= \sum_{\sigma \in \mathfrak{S}_{\{1,2,3,4\}} \times \mathfrak{S}_{\{5,6,7\}} \times \mathfrak{S}_{\{8\}}} \sigma \\ c_\lambda &= \sum_{\sigma \in \mathfrak{S}_{\{1,5,8\}} \times \mathfrak{S}_{\{2,6\}} \times \mathfrak{S}_{\{3,7\}} \times \mathfrak{S}_{\{4\}}} (-1)^\sigma \sigma. \end{aligned} \quad \left| \begin{array}{|c|c|c|c|} \hline 1 & 2 & 3 & 4 \\ \hline 5 & 6 & 7 & \\ \hline 8 & & & \\ \hline \end{array} \right.$$

$$x_1 \otimes \dots \otimes x_8 = \begin{array}{c} x_1 \otimes x_2 \otimes x_3 \otimes x_4 \\ \otimes \quad \otimes \quad \otimes \\ x_5 \otimes x_6 \otimes x_7 \\ \otimes \\ x_8 \end{array}$$

$$\begin{array}{c} \mathbf{v}_4 \otimes \mathbf{v}_2 \otimes \mathbf{v}_4 \otimes \mathbf{v}_1 \\ \otimes \quad \otimes \quad \otimes \\ \mathbf{v}_3 \otimes \mathbf{v}_2 \otimes \mathbf{v}_1 \\ \otimes \\ \mathbf{v}_1 \end{array} = \begin{array}{|c|c|c|c|} \hline 4 & 2 & 4 & 1 \\ \hline 3 & 2 & 1 & \\ \hline 1 & & & \\ \hline \end{array}$$

我们要求

中 ``标出位置'' 的对称群 $G \subseteq \mathfrak{S}_N$. 记 g

习题 2 (Howe 对偶). 考虑

记 $M_{n,k}$ 多项式函数为 R , 作为 GL_n 和 GL_k 的表示, R 应该如何分解? [提示: 这个表示的特征是 $\prod_{i,j} \frac{1}{1-x_i y_j}$, 根据 Cauchy 恒等式, 其分解是 $\bigoplus V_\lambda \otimes V_\lambda$.]

参考文献

- ### 1.3 Kashiwara 晶体基

但是我们没法确定前面的系数.

$$\begin{array}{|c|c|c|c|} \hline 1 & 2 & 2 & 4 \\ \hline 2 & 3 & 4 & \\ \hline 3 & & & \\ \hline \end{array} \xrightarrow{1} \begin{array}{|c|c|c|c|} \hline 1 & (1) & 2 & 4 \\ \hline 2 & 3 & 4 & \\ \hline 3 & & & \\ \hline \end{array} + q \begin{array}{|c|c|c|c|} \hline 1 & 2 & (1) & 4 \\ \hline 2 & 3 & 4 & \\ \hline 3 & & & \\ \hline \end{array}$$

记 $\mathbb{I} = \{1, \dots, n-1\}$, 权格 $\Lambda = \mathbb{Z}x_1 \oplus \dots \oplus \mathbb{Z}x_n / (x_1 + \dots + x_n)$, fundamental weight $\omega_i = x_1 + \dots + x_i$.

权 $\text{wt} : \mathcal{B} \rightarrow \Lambda$

且此时
$$\begin{cases} \epsilon_i(y) = \epsilon_i(x) - 1 \\ \varphi_i(y) = \varphi_i(x) + 1 \\ \mathbf{wt}(y) = \mathbf{wt}(x) + \alpha_i. \end{cases} \quad \text{. 还要求}$$

$$\varphi_i(x) - \epsilon_i(x) = \langle h_i, \mathbf{wt}(x) \rangle.$$

$$\varphi_i(x) = \max\{k : f_i^k x \neq 0\}$$

下面是一些例子

$$\mathbb{I} = \{1, 2\}$$

2

3	3	3
---	---	---

$\mathbb{I} = \{1, 2, 3\}$

The diagram shows a directed graph with 6 nodes, each representing a partition of the set $\{1, 2, 3, 4\}$. The nodes are arranged in a cycle, and the edges are labeled with elements of $\mathbb{I} = \{1, 2, 3\}$.

- Node 1 (top-left): $\begin{smallmatrix} 1 \\ 2 \end{smallmatrix} \mid 3$
- Node 2 (top-right): $\begin{smallmatrix} 2 \\ 3 \end{smallmatrix} \mid 4$
- Node 3 (bottom-right): $\begin{smallmatrix} 3 \\ 4 \end{smallmatrix} \mid 1$
- Node 4 (bottom-left): $\begin{smallmatrix} 1 \\ 4 \end{smallmatrix} \mid 2$
- Node 5 (top): $\begin{smallmatrix} 1 \\ 2 \end{smallmatrix} \mid 3$
- Node 6 (bottom): $\begin{smallmatrix} 1 \\ 3 \end{smallmatrix} \mid 2$

Edges and their labels:

- Node 1 to Node 5: labeled 1
- Node 5 to Node 2: labeled 3
- Node 2 to Node 3: labeled 2
- Node 3 to Node 4: labeled 1
- Node 4 to Node 1: labeled 3
- Node 1 to Node 6: labeled 2

$$f_i(x \otimes y) = \begin{cases} f_i(x) \otimes y & \varphi_i(y) \leq \epsilon_i(x) \\ x \otimes f_i(y) & \varphi_i(y) > \epsilon_i(x) \end{cases}$$

$$e_i(x \otimes y) = \begin{cases} e_i(x) \otimes y & \varphi_i(y) < \epsilon_i(x) \\ x \otimes e_i(y) & \varphi_i(y) \geq \epsilon_i(x) \end{cases}$$

$$\varphi_i(x \otimes y) = \max\{\varphi_i(x), \varphi_j(y) + \langle h_i, \mathbf{wt}(x) \rangle\}$$

$$\epsilon_i(x \otimes y) = \max\{\epsilon_i(x), \epsilon_j(y) - \langle h_i, \mathbf{wt}(x) \rangle\}$$

这样定义是有动机的, 这是经典的 Clebsch–Gordan 公式

$x \otimes y$	y	$\overline{1111} \rightarrow \overline{1112} \rightarrow \overline{1122} \rightarrow \overline{2222}$
x	$\epsilon(x)^{\varphi(y)}$	3 2 1 0
$\overline{11111}$	0	$\overline{11111} \otimes \overline{11111} \rightarrow \overline{11111} \otimes \overline{1112} \rightarrow \overline{11111} \otimes \overline{1122} \rightarrow \overline{11111} \otimes \overline{2222}$
\downarrow		
$\overline{11112}$	1	$\overline{11112} \otimes \overline{11111} \rightarrow \overline{11112} \otimes \overline{1112} \rightarrow \overline{11112} \otimes \overline{1122} \rightarrow \overline{11112} \otimes \overline{2222}$
\downarrow		
$\overline{11122}$	2	$\overline{11122} \otimes \overline{11111} \rightarrow \overline{11122} \otimes \overline{1112} \rightarrow \overline{11122} \otimes \overline{1122} \rightarrow \overline{11122} \otimes \overline{2222}$
\downarrow		
$\overline{11222}$	3	$\overline{11222} \otimes \overline{11111} \rightarrow \overline{11222} \otimes \overline{1112} \rightarrow \overline{11222} \otimes \overline{1122} \rightarrow \overline{11222} \otimes \overline{2222}$
\downarrow		
$\overline{22222}$	4	$\overline{22222} \otimes \overline{11111} \rightarrow \overline{22222} \otimes \overline{1112} \rightarrow \overline{22222} \otimes \overline{1122} \rightarrow \overline{22222} \otimes \overline{2222}$

例如

$x \otimes y$	y	$\overline{1} \xrightarrow{1} \overline{2} \xrightarrow{2} \overline{3} \xrightarrow{3} \overline{4}$
x	$\epsilon(x)^{\varphi(y)}$	100 010 001 000
$\overline{1}$	0	$\overline{1} \otimes \overline{1} \xrightarrow{1} \overline{1} \otimes \overline{2} \xrightarrow{2} \overline{1} \otimes \overline{3} \xrightarrow{3} \overline{1} \otimes \overline{4}$
\downarrow		$\downarrow 1 \quad \downarrow 1 \quad \downarrow 1$
$\overline{2}$	1	$\overline{2} \otimes \overline{1} \xrightarrow{2} \overline{2} \otimes \overline{2} \xrightarrow{3} \overline{2} \otimes \overline{3} \xrightarrow{4} \overline{2} \otimes \overline{4}$
\downarrow		$\downarrow 2 \quad \downarrow 2 \quad \downarrow 2$
$\overline{3}$	0	$\overline{3} \otimes \overline{1} \xrightarrow{1} \overline{3} \otimes \overline{2} \xrightarrow{3} \overline{3} \otimes \overline{3} \xrightarrow{4} \overline{3} \otimes \overline{4}$
\downarrow		$\downarrow 3 \quad \downarrow 3 \quad \downarrow 3$
$\overline{4}$	0	$\overline{4} \otimes \overline{1} \xrightarrow{1} \overline{4} \otimes \overline{2} \xrightarrow{2} \overline{4} \otimes \overline{3} \xrightarrow{4} \overline{4} \otimes \overline{4}$

由此出发能够得到经典的 Littlewood–Richardson rule. 具体来说, 考虑自然表示 V_{\square} ,

$$\overline{1} \xrightarrow{1} \dots \xrightarrow{n-1} \overline{n}.$$

对每一个 fundamental weight $\omega_i = x_1 + \dots + x_N$ 对应的基本表示 V_i 可以嵌入 $V_{\square}^{\otimes N}$. 对应连通分支的晶体图是 $\overline{i_1} \otimes \dots \otimes \overline{i_N}$ 使得 $i_1 < \dots < i_N$. 我们将其记

为 $\begin{bmatrix} i_1 \\ \vdots \\ i_N \end{bmatrix}$. 一般地, 假如把任何一个权 λ 写成 ω_i 的和按照 $\omega_1 > \omega_2 > \dots > \omega_{n-1}$ 降序

$$\lambda = \omega_{n-1} + \dots + \omega_{n-2} + \dots$$

可以把对应的表示嵌入到对应

$$V_{n-1} \otimes V_{n-1} \otimes \dots \otimes V_{n-2} \otimes \dots$$

中. 此时记为

$$\begin{bmatrix} \\ \\ \end{bmatrix} \otimes \begin{bmatrix} \\ \end{bmatrix} = \begin{bmatrix} & \\ & \\ & \end{bmatrix}$$

对应的 Crystal graph 的连通分支恰好对应半标准 Young 表.

参考文献

- Bump, Schilling. Crystal Bases: Representations And Combinatorics
- Nakashima. Crystal base and a generalization of the Littlewood-Richardson rule for the classical Lie algebras.

2 范畴化

2.1 Temperley-Lieb 代数

下面我们关注一些映射. 我们用 \mathfrak{sl}_2 的自然表示 $V = \mathbb{C}^2$. 我们定义

$$\begin{array}{c} V \otimes V \\ \epsilon \downarrow \\ \mathbb{C} \end{array} \quad \text{诱导自反对称形} \quad \begin{cases} B(\mathbf{v}_1, \mathbf{v}_1) = B(\mathbf{v}_2, \mathbf{v}_2) = 0, \\ B(\mathbf{v}_1, \mathbf{v}_2) = 1, \\ B(\mathbf{v}_2, \mathbf{v}_1) = -1 \end{cases}$$

这满足

$$\forall g \in \mathfrak{sl}_2, \quad B(gx, y) + B(x, gy) = 0.$$

说明 ϵ 是一个 \mathfrak{sl}_2 表示之间的同态.

我们定义

$$\begin{array}{ccc} \mathbb{C} & & 1 \\ \eta \downarrow & & \uparrow \\ V \otimes V & \xrightarrow{\quad} & \mathbf{v}_1 \otimes \mathbf{v}_2 - \mathbf{v}_2 \otimes \mathbf{v}_1 \end{array}$$

这满足

$$\forall g \in \mathfrak{sl}_2, \quad g \cdot \eta(1) = 0.$$

说明 η 是一个 \mathfrak{sl}_2 表示之间的同态.

紧接着, 我们记

$$\eta \uparrow_{\mathbb{C}}^{V \otimes V} = \cup, \quad \epsilon \uparrow_{V \otimes V}^{\mathbb{C}} = \cap, \quad \text{id} \uparrow_V^V = |.$$

例如

$$\begin{array}{c} \text{Diagram} \\ \uparrow \\ V \otimes V \otimes V \\ \uparrow \\ V \otimes V \otimes V \\ \uparrow \\ V \end{array}$$

使得

$$\begin{aligned} x &\mapsto (\mathbf{v}_1 \otimes \mathbf{v}_2 - \mathbf{v}_2 \otimes \mathbf{v}_1) \otimes x \\ &\mapsto (\mathbf{v}_1 \otimes \mathbf{v}_2 - \mathbf{v}_2 \otimes \mathbf{v}_1) \otimes (\mathbf{v}_1 B(\mathbf{v}_2, x) - \mathbf{v}_2 B(\mathbf{v}_1, x)) \end{aligned}$$

这些图有如下运算律

$$\begin{aligned} \text{Diagram 1} &= \text{Diagram 2} = \text{Diagram 3} \\ \text{Diagram 4} &= 2 \\ \text{Diagram 5} &= \text{Diagram 6} + \text{Diagram 7} \end{aligned}$$

注意到, 通过上面的配合 B ,

$$V \cong V^* \quad (\text{作为 } \text{SL}_2 \text{ 的表示})$$

而注意到

$$\text{Hom}(V^{\otimes k}, V^{\otimes h}) = (V^*)^{\otimes k} \otimes V^{\otimes h} \cong V^{\otimes(k+h)}.$$

所以

$$\text{Hom}_{\text{SL}_2}(V^{\otimes k}, V^{\otimes h}) = (V^{\otimes(k+h)})^{\text{SL}_2}$$

所以问题变成找 $V^{\otimes n}$ 上面的 SL_2 -线性不变量, 即

$$\{f : V^{\otimes n} \rightarrow \mathbb{C} : \forall g \in \text{SL}_2, f(gx_1, \dots, gx_n) = f(x_1, \dots, x_n)\}.$$

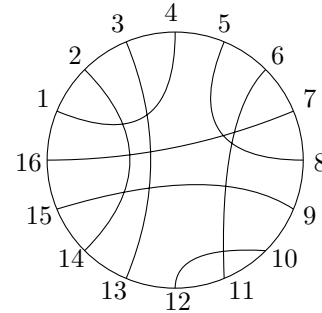
这只有在 $n = 2k$ 是偶数时才非 0, 因为 $\begin{pmatrix} -1 & \\ & 1 \end{pmatrix} \in \text{SL}_2$.

此时等于计算

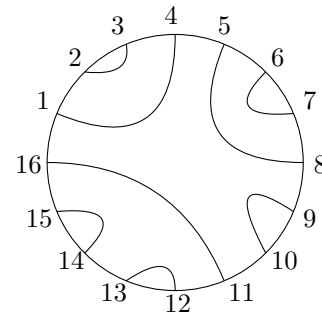
$$\{f : V^{\otimes k} \rightarrow V^{\otimes k} : \forall g \in \text{SL}_2, f(gx) = gf(x)\} = \text{End}_{\text{SL}_2}(V^{\otimes k}).$$

根据 Schur-Weyl 对偶, 这是由 \mathfrak{S}_k 在 $\text{End}(V^{\otimes k})$ 中的像生成的.

所以 $V^{\otimes n}$ 上面的 SL_2 -线性不变量实际上由形如下图的置换生成



但是交叉可以解开, 泡泡可以消去, 所以只需要由形如下图的不交弦图生成



另一方面, $V^{\otimes n}$ 的 SL_2 -线性不变量是

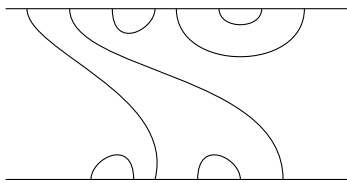
$$\text{Hom}_{\text{SL}_2}(V^{\otimes n}, \mathbb{C}) = (V^{\otimes n})^{\text{SL}_2} = (V^{\otimes n})^{\mathfrak{sl}_2}$$

其维数等于 $(n = 2k)$

$$\chi(V^{\otimes n})(x - x^{-1}) \text{ 的 } x^1 \text{ 系数} = \binom{2k}{k} - \binom{2k}{k-1}$$

这也是不交弦图的数目, 因此这样的不交弦图构成一组基.

特别地, $V^{\otimes k}$ 到 $V^{\otimes h}$ 的 \mathfrak{sl}_2 同态也以形如下图的不交弦图



构成一组基. 他们关于图的拼接构成一个范畴, 称为 **Temperley-Lieb 范畴**.

注意 1 $\text{End}_{\text{SL}_2}(V^{\otimes n})$ 被称为 **Temperley-Lieb 代数**. 注意 $V^{\otimes n}$ 含有一个到 $S^n(V)$ 的投射, 这个由 *Jones-Wenzl Projectors* 给出.

注意 1 如果改成量子群, 那么

$$\bigcirc = q + q^{-1} \quad \text{X} = q \quad \text{I} = +q^{-1}$$

会得到扭结理论中的 *Kauffman bracket* (可以用来定义 *Jone* 多项式).

习题 1. 证明不交弦图的数目也是 $\binom{2k}{k} - \binom{2k}{k-1}$.

习题 2. 证明作为 GL_2 的表示, V 和 V^* 不同构, 且 $V^{\otimes n}$ 在 $n \geq 1$ 时没有 GL_2 不变量. [提示: 计算特征, $\chi(V) = e^{x_1} + e^{x_2}$, $\chi(V^*) = e^{-x_1} + e^{-x_2}$. $\chi(V^{\otimes n}) = (e^{x_1} + e^{x_2})^n$ 没有常数项.]

经典不变量理论

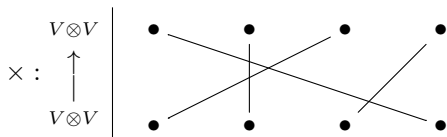
对于复线性空间 V , 记一般线性群 $\text{GL}(V)$, 考虑

$$I_{\text{GL}(V)}(k, h) = \text{Hom}_{\text{GL}(V)}(V^{\otimes k}, V^{\otimes h})$$

即 $V^{\otimes k} \rightarrow V^{\otimes h}$ 的 $\text{GL}(V)$ 不变量. 结论是

$$I_{\text{GL}(V)}(k, h) = \begin{cases} 0 & k \neq h \\ \dim[\mathbb{C}[\mathfrak{S}_k] \rightarrow \text{End}(V^{\otimes k})] & k = h. \end{cases}$$

即 $I(k, k)$ 由 \mathfrak{S}_k 在 $V^{\otimes k}$ 上的置换生成. 画在图上是



生成的.

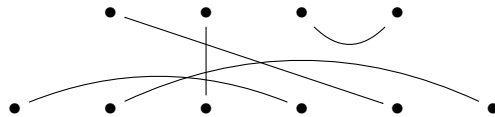
对于内积线性空间 V , 记正交群 $\text{O}(V)$, 记

$$I_{\text{O}(V)}(k, h) = \text{Hom}_{\text{O}(V)}(V^{\otimes k}, V^{\otimes h})$$

即 $V^{\otimes k} \rightarrow V^{\otimes h}$ 的 $\text{O}(V)$ 不变量. 此时作为 $\text{O}(V)$ 模 $V \cong V^*$, 所以 $I(k, h) = I(k+1, h-1)$, 而

$$I_{\text{SL}(V)}(k, h) = \begin{cases} 0 & k \not\equiv h \pmod{2} \\ \text{Brauer 代数的像} & k \equiv h \pmod{2} \end{cases}$$

即 $I(k, h)$ 由 \times, \smile, \frown 生成的.



请看 **Brauer 代数/范畴**.

对于辛空间 V , $\text{Sp}(V)$ 亦然.

对于复线性空间 V , 记特殊线性群 $\text{SL}(V)$, 记

$$I_{\text{SL}(V)}(k, h) = \text{Hom}_{\text{SL}(V)}(V^{\otimes k}, V^{\otimes h})$$

即 $V^{\otimes k} \rightarrow V^{\otimes h}$ 的 $\text{SL}(V)$ 不变量. 一般来说, 当 $\dim V \geq 3$ 时, 没有作为 $\text{SL}(V)$ 模的同构 $V \cong V^*$. 但是我们有行列式 $V^{\otimes n} \rightarrow \mathbb{C}$ 和其偶 $\mathbb{C} \rightarrow V^{\otimes n}$. 结论是 $I(k, h)$ 由 \times 和行列式及其偶生成的 (这个我不太确定).

对于 $\text{SO}(V)$, 不变量比 $\text{O}(V)$ 多了一个行列式及其偶 (这我确定是对的).

参考文献

- Fulton and Harris. Representation theory.
- Goodman and Wallach. Symmetry, Representations, and Invariants.

2.2 \mathfrak{sl}_n -网

注意到 Temperley-Lieb 代数是对 \mathfrak{sl}_2 的 Schur-Weyl 对偶的精细化, 我们要问这是否能推广到 \mathfrak{sl}_n 的版本?

历史上是先有 \mathfrak{sl}_3 . 考虑自然表示 V , 此时

$$V = \begin{smallmatrix} \square \end{smallmatrix}, \quad V^* = \begin{smallmatrix} \square \\ \square \end{smallmatrix} \cong \Lambda^2 V.$$

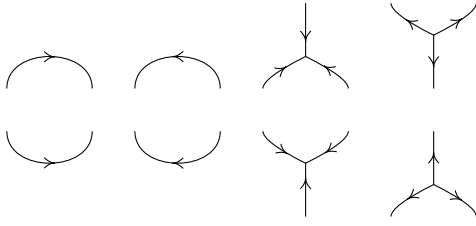
我们记

$$\uparrow = V, \quad \downarrow = V^*.$$

那么有下面的映射

$$\begin{array}{ccc} \text{配合} & \begin{array}{c} \curvearrowright \end{array} & \begin{array}{ccc} \mathbb{C} & & f(x) \\ \uparrow & & \uparrow \\ V \otimes V^* & & x \otimes f \end{array} \\ \text{外积} & \begin{array}{c} \downarrow \\ \downarrow \end{array} & \begin{array}{ccc} V^* & & x \wedge y \\ \uparrow & & \uparrow \\ V \otimes V^* & & x \otimes y \end{array} \end{array}$$

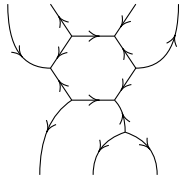
以此类推可以定义



他们满足关系

$$\begin{aligned} \text{Loop} &= \text{Loop} = 3 \\ \text{Crossing} &= 2 \\ \text{Square} &= \text{Two arcs} + \text{Two arcs} \end{aligned}$$

例如



结论是二者之间的所有 \mathfrak{sl}_3 同态恰好是

$$\bigoplus \mathbb{Z} \cdot [\text{不交的蜘蛛网图}] / \text{上述三则关系}$$

一般地, \mathfrak{sl}_n 的自然表示 V , 我们记

$$\Lambda^k V = \begin{vmatrix} 1 \\ k \end{vmatrix} \quad \Lambda^k V^* = \begin{vmatrix} 1 \\ -k \end{vmatrix} \quad \mathbb{C} = \begin{vmatrix} 1 \\ 0 \end{vmatrix}$$

张量则顺次排列, 并且我们约定 \uparrow 为正, 记例如

$$\begin{matrix} \uparrow & \downarrow & \uparrow & \uparrow \\ 2 & 3 & 1 & 1 \end{matrix} = \Lambda^2 V \otimes \Lambda^3 V^* \otimes V \otimes V.$$

注意到作为 \mathfrak{sl}_n 的表示

$$\begin{matrix} \uparrow \\ k \end{matrix} = \begin{matrix} \downarrow \\ -k \end{matrix} = \Lambda^k V \cong \Lambda^{n-k} V^* = \begin{matrix} \downarrow \\ n-k \end{matrix}$$

特别地,

$$\begin{matrix} \uparrow \\ n \end{matrix} = \begin{matrix} \downarrow \\ -n \end{matrix} = \Lambda^n V = \text{平凡表示}.$$

但是同构有一个符号的选择 $(-1)^{k(N-k)}$ 的差别.

记

$$\begin{array}{ccccc} \begin{matrix} a+b \\ \uparrow \\ a \quad b \end{matrix} & \Lambda^{a+b} V & x_S \wedge x_T & & \\ \vdots & \uparrow & \uparrow & & \\ \begin{matrix} a \quad b \\ \uparrow \\ a+b \end{matrix} & \Lambda^a V \otimes \Lambda^b V & x_S \otimes x_T & & \\ & \uparrow & & & \\ \begin{matrix} a \quad b \\ \uparrow \\ a+b \end{matrix} & \Lambda^a V \otimes \Lambda^b V & \text{诱导自} & \Lambda^{a+b} V^* & y_S \wedge y_T \\ \vdots & \uparrow & \uparrow & \uparrow & \uparrow \\ \begin{matrix} a \quad b \\ \uparrow \\ a+b \end{matrix} & \Lambda^{a+b} V & \Lambda^a V^* \otimes \Lambda^b V^* & y_S \otimes y_T & \end{array}$$

还可以定义

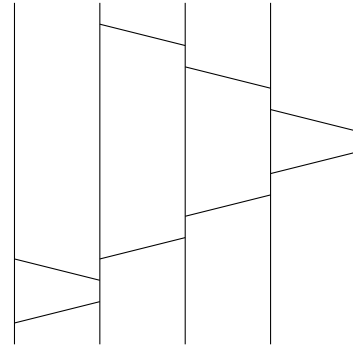
$$\begin{array}{ccccc} \begin{matrix} b-a \\ \downarrow \\ a \quad b \end{matrix} & \Lambda^{b-a} V^* & \iota_{x_S} y_T & (\text{内乘}) & \\ \vdots & \uparrow & \uparrow & & \\ \begin{matrix} a \quad b \\ \downarrow \\ b-a \end{matrix} & \Lambda^a V \otimes \Lambda^b V^* & x_S \otimes y_T & & \end{array}$$

以此类推, 最终会得到任意方向的 和 .

结论是二者之间的所有 \mathfrak{sl}_n 同态恰好是

$$\bigoplus \mathbb{Z} \cdot [\text{不交的蜘蛛网图}] / \text{一堆关系}$$

注意 1 实际上这还会反过来给出 *Beilinson, Lusztig* 和 *MacPherson* 的量子群 $\dot{U}_q(\mathfrak{sl}_n)$.



参考文献

- Cautis, Kamnitzer, Morrison. Webs and quantum skew Howe duality
- Tubbenhauer. \mathfrak{gl}_n -webs, categorification and Khovanov-Rozansky homologies
- Mackaay. The \mathfrak{sl}_n -web algebras and dual canonical bases